

マサ土のセン断特性について

関西大学工学部 正員 西田 一彦
同 喬川 義

1. まえがき

著者らはマサ土のセン断強度特性におよぼす土粒子の物性の影響を重視し、すでに、風化度の異なるマサ土についてのセン断特性を報告した。^{1),2)} それによると、拘束圧の小さい範囲での、セン断強度の風化度の差による変化が主に土粒子内空隙の多少に依存していることが明らかにされた。そこで今回はこれらとの関係が、かなり高い拘束圧下においていかなる変化を示すかを明らかにしたので報告する。

2. 実験方法

用いた試料は六甲山系から採取した風化度の異なる二種類のマサ土である。これらの諸物性は表-1のとおりである。粒度は人工的に0.074~2.0mmとした。

表-1				
試料	風化度	真比重(ρ _g)	かけ重(ρ _a)	粒度
N0.1	小	2.646	2.431	0.074
N0.2	大	2.621	2.050	~2.0 mm

ここで風化の尺度としてはカサ比重を用いている。また、両者の鉱物組成はほとんど同じで有色鉱物量は5%以下である。これらの試料を約50°Cで炉乾燥したものを種々の間隙比に至るよう突き固めたのち、英國ワイケハム・フランス社製、高圧三軸試験装置を用い三軸試験を行なった。セン断速度はほぼ1%/min.で排気状態である。

3. 実験結果とその考察

上記二種類の試料についての実験結果のうち代表的なものについて示すと図-1,2のとおりである。これによると、低い側圧($\sigma_3 = 0 \sim 5 \text{ kg/cm}^2$)の範囲では包絡線の勾配は大きな値をとり、側圧の増大とともに減少し、 $\sigma_3 = 20 \sim 30 \text{ kg/cm}^2$ 以上になるとほぼ一定の勾配値となる。またN0.1とN0.2と比べると、 σ_3 の小さな範囲ではかなりの差があるが、 $\sigma_3 = 30 \text{ kg/cm}^2$ になるとほとんど両者は等しくなる。

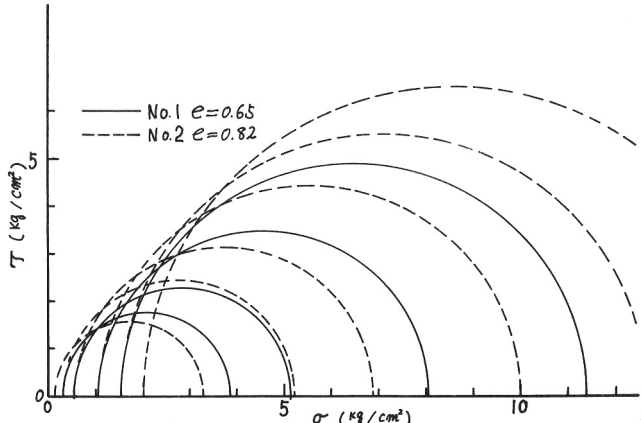


図-1 低圧下のセン断特性

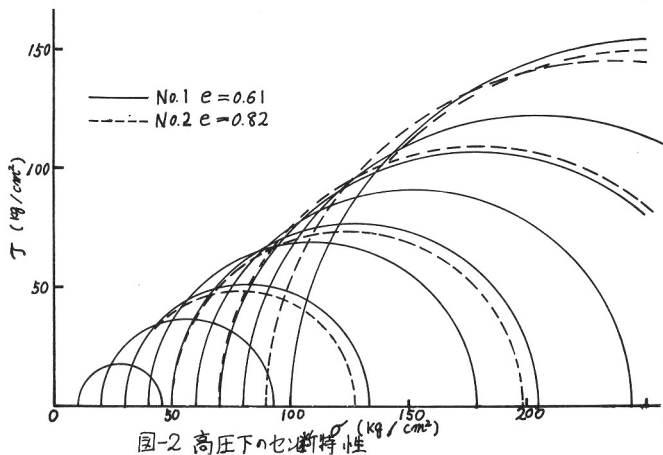


図-2 高圧下のセン断特性

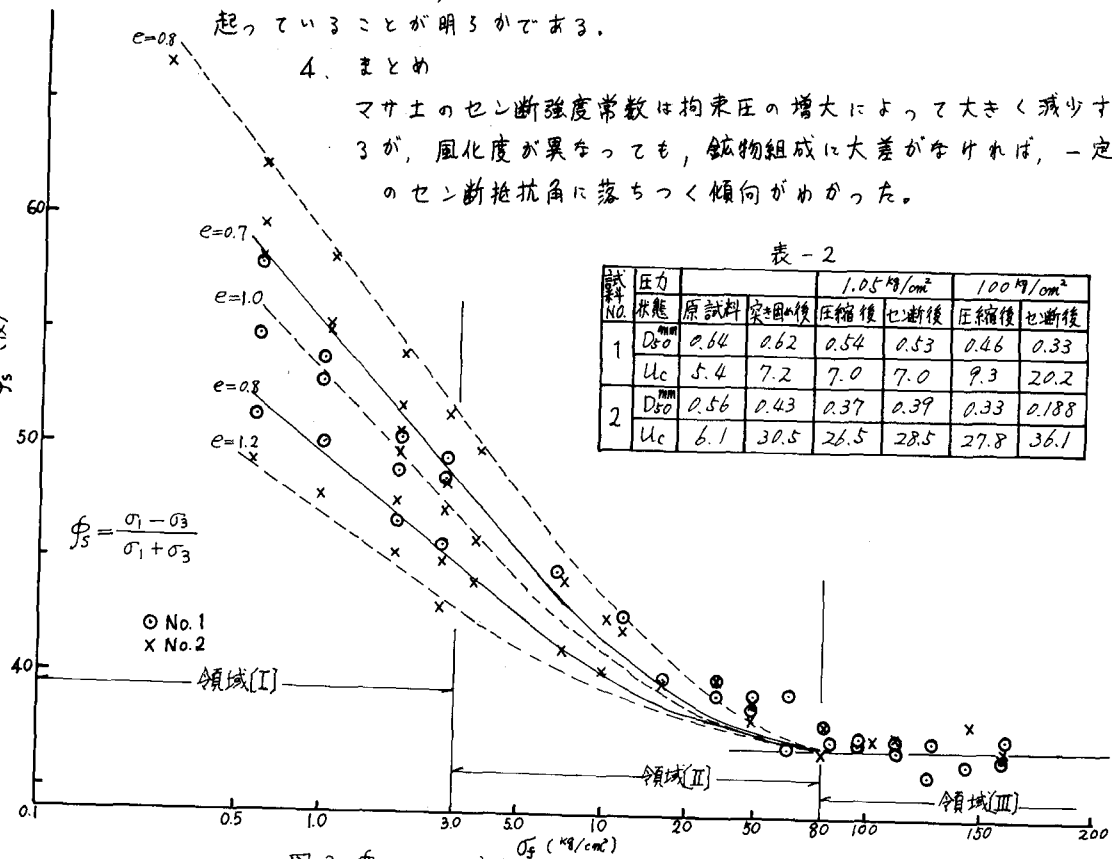
そこで、いま、包絡線の勾配がどのように変化するかを明るかにするため、同一の原点からモールの応力円に引いた接線の勾配を ϕ_s とし、これとせん断面上の垂直応力 σ_3 との関係を示すと図-3のようになります。これから、 ϕ_s は σ_3 の増大によって極端に減少し、ある値に近づく傾向を示す。領域[I]では間ゲキ比が近い値でも風化の進んだN0.2の方がN0.1より ϕ_s が大であり、領域[II]は領域[III]への移行領域であり、さうに、領域[III]では間ゲキ比によらず同一の ϕ_s 値を示す傾向がわかる。このことは別の見方をすれば領域[I]では土粒子破碎が少なく、土粒子内空ゲキが残存しており、 ϕ_s は主に土粒子間間ゲキ比(e_e)に支配される。一方、領域[III]は土粒子が圧縮、せん断中に破碎され、土粒子内空ゲキが開放され、土粒子間空ゲキに移行している領域であり、さうに領域[III]では破碎が極端に進んで、間ゲキ比や土粒子間間ゲキ比に無関係に土粒子間の摩擦係数に近づくものと考えられる。このことは、表-2に示した各試料の突き固め後、圧縮後、せん断後の各過程での粒度分析結果からもうかがえるものである。表-2では σ_3 の小さい場合(1.05kg/cm²)にはせん断中の土粒子破碎が少ないが、 σ_3 の大きい場合(100kg/cm²)ではせん断中に多量の破碎が起つてることが明るかである。

4. まとめ

マサ土のせん断強度常数は拘束圧の増大によって大きく減少するが、風化度が異なっても、鉱物組成に大差がなければ、一定のせん断抵抗角に落ちつく傾向がわかった。

表-2

試料	圧力	1.05kg/cm ²		100kg/cm ²	
		原試料	突き固め後	圧縮後	せん断後
1	D ₅₀ ^{mm}	0.64	0.62	0.54	0.53
	U _c	5.4	7.2	7.0	7.0
2	D ₅₀ ^{mm}	0.56	0.43	0.37	0.39
	U _c	6.1	30.5	26.5	28.5



参考文献；1) 西田香川、マサ土の土粒子特性とせん断特性について、土木学会第25回年次学術講演会講演集 第3部 PP. 375-376

2) 西田香川、マサ土の土粒子特性とせん断特性について、昭和45年度関西支部年次学術講演会概要 III-6-1 ~ III-6-2